



creos[™] wurde eingeführt im Jahr

2014

creos[™] xenoprotect



creos™ xenogain creos™ xenogain Kollagen

2018

creos[™] syntogain creos[™] xenoform

2023

creos[™] syntostitch creos[™] xenofill creos[™] screw fixation creos[™] xenofirm

2024

creos[™] syntoprotect mesh









Der vertrauenswürdige Partner mit regenerativen Lösungen für Sie und Ihre Patienten

Indikationsbasierte Produktübersicht				
Knochenersatz				
creos™ xenogain	6			
${\sf creos}^{\sf TM}$ xenogain Kollagen	6			
${\sf creos}^{\sf TM}$ ${\sf xenoform}$	8			
${\sf creos}^{\sf TM}$ ${\sf syntogain}$	10			
Membranen				
${\sf creos}^{\sf TM}$ ${\sf xenoprotect}$	12			
${\sf creos}^{\sf TM}$ ${\sf xenofirm}$	14			
${\sf creos}^{\sf TM}$ syntoprotect mesh	15			
${\sf creos}^{\sf TM}$ ${\sf syntoprotect}$	16			
${\sf creos}^{\sf TM}$ ${\sf syntoprotect}$ ${\sf titanverst}$ ärkt	16			
Kollagenmatrix				
${\sf creos}^{\sf TM}$ ${\sf mucogain}$	18			
Wundauflagen				
$creos^TM xenofill$	20			
Nahtmaterialien				
creos™ syntostitch	22			
Fixierungssysteme				
creos™ screw fixation	23			
Artikelübersicht	24			
Referenzen	32			

Indikationsbasierte Produktübersicht

Siehe Artikellisten (S. 24–31) für die am häufigsten verwendeten Produktcodes

Erhaltung des Alveolarkamms

Mit primärem Verschluss Ohne primären Verschluss





	creos xenogain*	Xenogenes Knochenersatzmaterial	0,25-0,5 g	0,25-0,5 g
	creos xenogain Kollagen	creos xenogain + 10 % porcines Kollagen Typ I	0,1-0,25 g	0,1-0,5 g
Knochenersatz	creos xenoform*	Xenogenes Knochenersatzmaterial	0,25-0,5 g	0,25-0,5 g
	creos syntogain*	Synthetisches Knochenersatzmaterial	0,5–1 g	0,5–1 g
	creos xenoprotect	Resorbierbare Kollagenmembran	15 x 20 mm	
	creos xenofirm	Resorbierbare, feste Kollagenmembran	15 x 20 mm	
Membranen	creos syntoprotect	Nicht resorbierbare PTFE-Membran mit hoher Dichte		12 x 24 mm 12 x 30 mm 25 x 30 mm
	creos syntoprotect titanverstärkt	Nicht resorbierbare, titanverstärkte PTFE-Membran mit hoher Dichte		Formen 1 und 2
Mesh	creos syntoprotect mesh	Verstärktes PTFE-Gewebe		
Matrizen	creos mucogain	Resorbierbare Kollagenmatrix		
Wundauflagen	creos xenofill	Resorbierbare Wundauflagen		Plug (nur völlig intakte Alveolen)
Nahtmaterialien	creos syntostitch	Nicht resorbierbares PTFE-Nahtmaterial – monofil	Alle Größen	Alle Größen
Fixierungssystem	creos screw fixation	Selbstbohrende Titanfixierungsschraube		

Achtung Die Gebrauchsanweisungen enthalten umfassende Informationen zur Verwendung, einschließlich Indikationen, Gegenanzeigen, Warnungen und Vorsichtsmaßnahmen. Die angegebenen Volumina und Größen sind als Näherungswerte zu verstehen und können je nach Defekt/Patient variieren.

^{*} Bitte beachten Sie die Artikellisten (S. 24–31) für die Umrechnung in Volumen (cc)

Horizontale Kieferkammaug- mentation	Vertikale Kieferkammaug- mentation	Periimplantärer Defekt	Sinus- Augmentation	Parodontale Defekte	Weichgewebsaug- mentation (um Zähne oder Implantate)
0,25-0,5 g	0,5–2 g	0,25-0,5 g	1–2 g	0,25 g	
0,25-0,5 g		0,15-0,25 g	0,25-0,5 g	0,1-0,25 g	
0,25-0,5 g	0,5–2 g	0,25-0,5 g	1–2 g	0,25 g	
0,5–1 g	1 g	0,5 g	1 g	0,5 g	
15 x 20 mm 25 x 30 mm	25 x 30 mm 30 x 40 mm	15 x 20 mm	15 x 20 mm 25 x 30 mm	15 x 20 mm	
15 x 20 mm 20 x 30 mm	20 x 30 mm 30 x 40 mm	15 x 20 mm	15 x 20 mm 20 x 30 mm	15 x 20 mm	
		12 x 24 mm 12 x 30 mm 25 x 30 mm			
Formen je nach Defekt	Formen je nach Defekt	Formen je nach Defekt			
Formen je nach Defekt	Formen je nach Defekt	Formen je nach Defekt			
					15 x 20 mm 25 x 30 mm
					Foam, Tape (für die Entnahmestelle)
Alle Größen	Alle Größen	Alle Größen	Alle Größen	Alle Größen	4-0; 5-0
Alle Typen	Alle Typen	Membranfixierungs- schrauben; Tentingschrauben			

creosTM xenogain

Xenogene Knochenaugmentation für die gesteuerte Knochenregeneration und die gesteuerte Geweberegeneration

Drei verschiedene Applikationsmethoden:







Ampulle

Mischalas

Spritze

Dem menschlichen Knochen ähnlich

- Chemische Zusammensetzung:
 Ca/P-Verhältnis
- Vernetzt Makroporen^{1,2}

Einfache Handhabung

- Homogene Partikelgrößenverteilung
- Hydrophil für schnelle Rehydrierung³

Solide Grundlage für die Zahnimplantatbehandlung

- Osteokonduktive Eigenschaften²
- Langfristige Volumenstabilität⁶
- Problemlose Wundheilung^{7,8,4,6,5}





"Ich schätze die einfache Handhabung und ich betrachte seine hohe Hydrophilität als biologisch vorteilhaft bei Sinusbodenaugmentation und periimplantärei Regeneration von Knochendefekten."

Dr. Werner Zechner, Österreich



creos™ xenogain Kollagen





Hochreines Spongiosa-Mineralgranulat aus bovinem Knochen und 10 % porcines Kollagen in Blockform und Spritze. Das Kollagen unterstützt, dass creos xenogain Kollagen an der gewünschten Stelle verbleibt. Speziell für das Extraktionsalveolen-Management empfohlen.





Block

Spritze

Gerüst für erfolgreiche Regeneration

Durch den optimierten Fertigungsprozess bleiben die natürlichen Knocheneigenschaften erhalten.²

Chemische Zusammensetzung

Mit einem dem menschlichen Knochen ähnlichen Kalzium-Phosphat-Verhältnis und einer niederkristallinen Struktur akzeptiert der Körper creos xenogain als geeignetes Gerüst für die Knochenbildung.¹

Partikelgröße

- Homogene Partikelgrößenverteilung¹
- Erhält genügend Raum für die Regeneration des Knochens.⁴

Erhalt der Nanostruktur

Die Nanostruktur bleibt dank der Behandlung mit vergleichsweise niedriger Temperatur (600 °C) erhalten, es findet kein Sintern statt.²

Makro- und Mikrostruktur

Interkonnektierende Makroporen ermöglichen den Zellen, in den Knochenersatz einzudringen. Mikroporen unterstützen die Aufnahme von Flüssigkeit durch Kapillarkräfte (Hydrophilie).^{10,11}

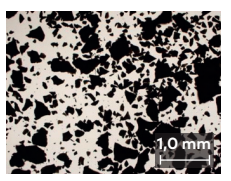
Kalzium-Phosphat-Verhältnis



Mikroaufnahme von creos xenogain und Referenzprodukt zur Veranschaulichung der Partikelgrößenverteilung (20-fache Vergrößerung)



creos™ xenogain (0,2–1,0 mm)



Referenzprodukt (0,25–1,0 mm)

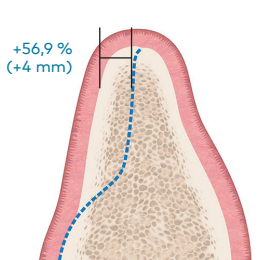
Solide Grundlage für die Implantatinsertion

Das Transplantat integriert sich in den sich neu bildenden Knochen und schafft so die Basis für eine erfolgreiche Implantatinsertion.⁴

Schematische Darstellung der Defekt- und Knochengröße vor und nach GBR



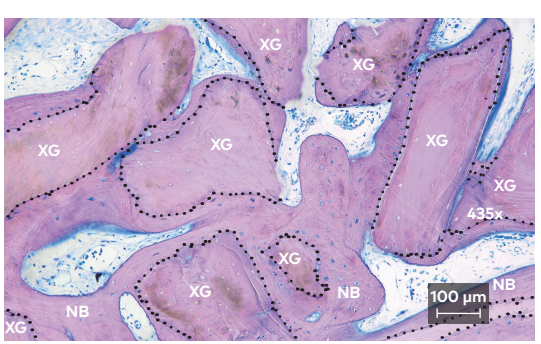
Ausgangssituation vor GBR



8 Monate nach dem Eingriff

In einer multizentrischen klinischen Studie mit 46 Patienten betrug der Knochenzuwachs nach 8 Monaten 4,0 mm (56,9 % Zuwachs) bzw. 4,7 mm (51,0 % Zuwachs), gemessen 1 mm bzw. 3 mm ab dem oberen Alveolarkamm.⁶

GBR führte zu einer robusten Knochenregeneration während der 8-monatigen Heilungsphase, was ein erfolgreiches Einsetzen von 91 Implantaten bei 43 Patienten mit einem durchschnittlichen Eindrehmoment von 37,8 ± 5,1 Ncm ermöglichte.6 Histologischer Querschnitt der zellulären Komponenten: neuer Knochen (NB), Knochenersatz (XG). Kontakt zwischen Knochen und Transplantatpartikel durch gestrichelte Linie dargestellt.



Die histologische Beurteilung der Trepankerne zeigte 37,3 % neuen Knochen, 39,1 % Knochenaugmentationsmaterial und 23,6 % Weichgewebe (n = 6 Kerne, 3 Patienten).6



Scannen Sie den Code, um Informationen zu den Ressourcen zu erhalten.

creos[™] xenoform

Xenogene Knochenaugmentation für die gesteuerte Knochenregeneration und die gesteuerte Geweberegeneration

Rinderspongiosa aus Australien mit zwei Anwendungstypen und zwei Granulatgrößen











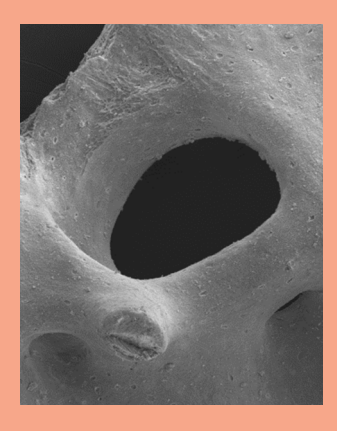
Multiporöse Struktur

- Hergestellt aus 100 % spongiösem Knochen
- Innovative
 Pulverisierungstechnik,
 die eine multiporöse
 Struktur ermöglicht
- → Maximierung des Einwachsens von Blutgefäßen



Natürliche Oberflächentopographie

- Herstellungsverfahren bei niedriger Temperatur
- → Stimulierung der Osteoblastenaktivität



Große Porengröße

- creos xenoform hat eine relativ große Porengröße (300–400 μm) im Vergleich zu anderen weltweit führenden Produkten
- → Günstig für den Gefäßzugang und die Gefäßbildung^{1,2}

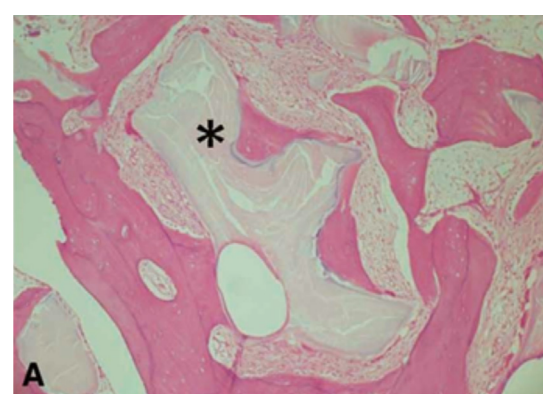


Okta-Kalziumphosphat -Kristalle

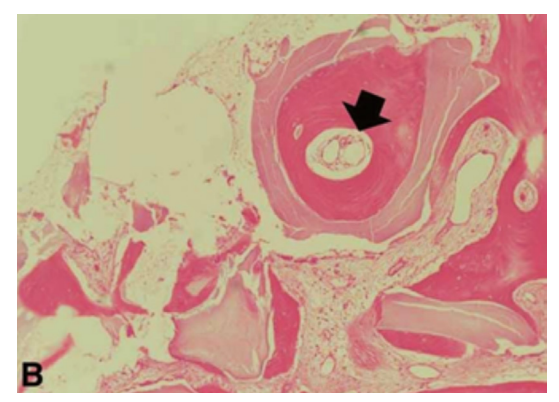
- auf der Oberfläche
- → Verbesserung der Knochen regeneration und -bildung¹

Histologie: Knochenneubildung der transplantierten creos xenoform in der menschlichen Kieferhöhle³

- Sinustransplantationen wurden bei 10 Patienten durchgeführt
- 6 Proben für die histomorphometrische Analyse
 - → 23,5 % neuer Knochen und 15,4 % Resttransplantatmaterial 6 Monate nach dem Knochentransplantationseingriff
 - → Mehr neu gebildeter Knochen als Resttransplantatmaterial



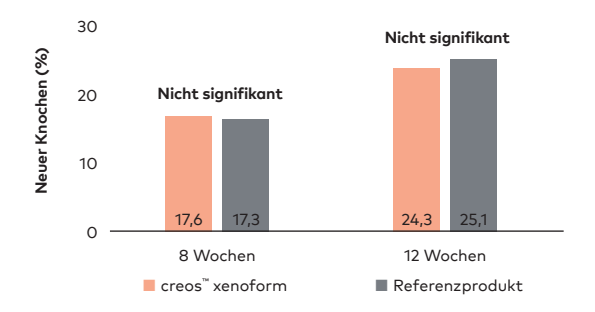
A. Restliches Transplantatmaterial (*), umgrenzt von neu gebildetem Knochen.



B. Einwachsen von Mikrogefäßen in den neu gebildeten Knochen (Pfeil) mit Lakunen in den Knochenlamellen.

Hoher Anteil an neu regeneriertem Knochen

- Patientenbiopsien zeigen 23,5±0,1 % neuen Knochen im Vergleich zu 15,4±0,06 % Restknochenersatz 6–8 Monate nach Sinuslift.³
- In einem In-vivo-Modell zur Bewertung der Knochenheilungswirkung von Biomaterialien war der Prozentsatz des neu gebildeten Knochens mit creos xenoform und dem Referenzprodukt vergleichbar (die Unterschiede waren statistisch nicht signifikant). Nach dem Eingriff wurden weder Infektionen noch Komplikationen beobachtet.¹



Langfristiger Erfolg im klinischen Bereich

In den letzten 10+ Jahren wurde creos xenoform von Zahnärzten auf der ganzen Welt und in schwierigen klinischen Situationen eingesetzt.



Bild mit freundlicher Genehmigung von Myung Ho Lee, DDS, Republik Korea



creosTM syntogain

Nicht-tierisches Knochenersatzmaterial für effiziente Knochenregeneration

Einzigartige Zusammensetzung des Materials^{1,2,3}

- 80 % calciumdefizitäres Hydroxylapatit (CDHA und 20 % BTCP (Beta-Tricalciumphosphat)
- Es ist biomimetisch: Es ahmt den menschlichen Knochen nach, der ebenfalls aus CDHA besteht.³²³

Mikroskopische Oberfläche bestehend aus Nanokristallen^{1,4}

- Große spezifische Oberfläche^{1,5,6}: unterstützt die Zellanlagerung zur Knochenneubildung⁷
- Hohe Mikroporosität, was das Finwachsen des Knochens f\u00f6rdert^{1,8}

Knochenstabilität^{1,10}

 Beruhend auf klinischen Fallserien ist der Knocher stabil und erhält das Volumen des Defekts^{9,10}





Und sogar mehr:

Granulate haben eine einzigartige runde Form^{1,10}

- Einfache Anwendung in situ
- Verdichtungseffekt wird vermieden¹

Hohe Hydrophilie¹²

 Ermöglicht eine einfache Hydratation und Handhabung des Granulats¹²

Nicht gesintert¹

 Mikroporen und Osteokonduktivität werden nicht reduziert ^{13,14}



Fortschrittliches Herstellungsverfahren¹

creos syntogain ist die neueste Generation synthetischen Knochenersatzmaterials. Sein Herstellungsverfahren in wässriger Umgebung und bei niedriger Temperatur ermöglicht einen Knochenersatz mit einer einzigartigen Zusammensetzung, runden Granulatformen, einer großen Oberfläche und einer dem natürlichen Knochen ähnlichen Nano-/Mikroporosität.

1. Einzigartige Zusammensetzung^{1,2,3}

- 80 % CDHA (calciumdefizitäres Hydroxylapatit)
- 20 % B-Tricalciumphosphat.

Die Kristallinität von creos syntogain CDHA ähnelt dem menschlichen Knochen. 1,2,3

Je mehr ein Material dem menschlichen Knochen ähnelt, desto besser ist es für die Knochenbildung.¹⁵



Herkömmliche Fremdtransplantate aus Calciumphosphat (HA/B-TCP) Herstellungsverfahren bei hoher Temperatur: Passiviert Materialien und reduziert das Potenzial des Wirts, damit zu interagieren.

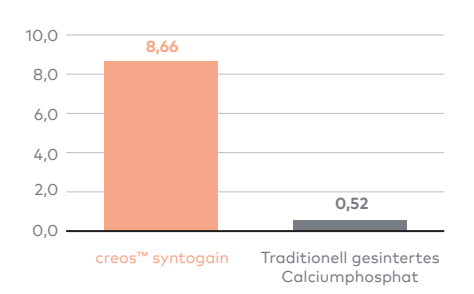


creos syntogain biomimetisches Calciumphosphat (CDHA/B-TCP) Herstellungsverfahren bei niedriger Temperatur: Hydroxylapatit-Kristalle wachsen langsam, wobei sie die Struktur und Zusammensetzung des menschlichen Knochens nachahmen.

2. Große spezifische Oberfläche^{1,5,6}

Dank des biomimetischen Herstellungsverfahrens wachsen Hydroxylapatit-Kristalle auf der Oberfläche des Granulats. Dies vergrößert die Oberfläche und ermöglicht die Zellanlagerung für die Knochenregeneration.¹⁶

N₂-Adsorption



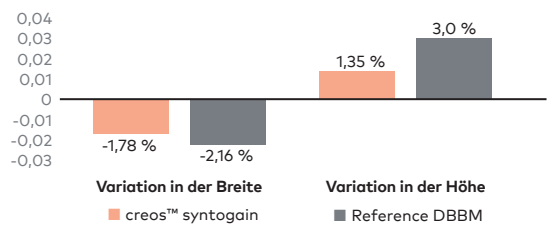
Die spezifische Oberfläche wurde mittels Stickstoffadsorption gemessen.

Klinische Ergebnisse¹⁷

In einer der größten randomisierten klinischen Studien zur dentalen Knochenregeneration mit 102 Patienten, welche jeweils eine Knochenaugmentation benötigten, erwies sich creos syntogain der als Referenz dienenden deproteinisierten bovinen Knochenmatrix (DBBM) als nicht unterlegen: Es wurde kein statistisch signifikanter Unterschied bei der vertikalen und bukkolingualen Größenänderung festgestellt.

Sechs Monate nach der Augmentation betrug die mittlere Veränderung des Knochens in Bezug auf Breite und Höhe bei creos syntogain (n=42) jeweils -1,78 % und 1,35 % und bei der Referenz-DBBM (n=41) -2,16 % und 2,99 %. Die Unterschiede zwischen den beiden Materialien waren statistisch nicht signifikant.

 $\label{thm:control} \mbox{Vertikale und horizontale Veränderung (\%) 6 Monate nach der Knochenaugmentation}$



Das mittlere Drehmoment der Implantatinsertion betrug 36,2 Ncm bei Osteotomien, die mit creos syntogain regeneriert wurden, und 35,1 Ncm bei Osteotomien, die mit der Referenz-DBBM regeneriert wurden. Bei creos syntogain wurden 71,1 % der Implantate mit einem Eindrehmoment von mehr als 35 Ncm eingesetzt. Bei der Referenz-DBBM waren es 62,8 %.

	creos™ syntogain n=45	Referenz- DBBM	t-Test
Eindrehmoment (Ncm ⁻¹)	36,2	35,1	0,676
Standardabweichung	12,4	13,6	
ISQ	70,2	70,8	0,770
Standardabweichung	12,0	9,8	



Scannen Sie den Code, um Informationen zu den Ressourcen zu erhalten.

creos[™] xenoprotect

Die meistverkaufte resorbierbare Kollagenmembran von Nobel Biocare



Einfache Handhabung^{1,2}

- Bleibt nicht an Instrumenten haften
- Erneute Positionierung in situ möglich
- Geringe Oberflächenausdehnung bei Hydratation
- Beide Seiten können zum Defekt weisen

Hohe mechanische Festigkeit^{2,3,4}

- Hohe Nahtretention^{1,4,9}
- Hochgradig reißfest

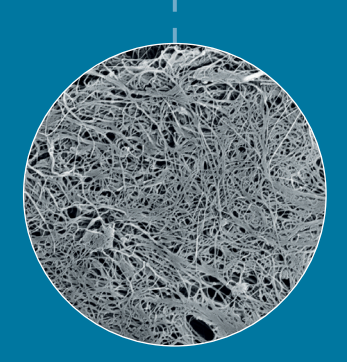
Natürliche Kollagenmembran

- Nicht chemisch quervernetzt¹⁴
- Hergestellt aus porcinem Kollagen

Erleichtert die Knochenbildung^{2,3,5,6,7,8}

- Geprüfte und zugelassene Biokompatibilität^{7,10}
- Vorteilhafte klinische Ergebnisse^{7,10}







"Mir gefällt, dass sich das Produkt sehr einfach handhaben lässt. Die mechanische Festigkeit ist sehr hoch und beim Rehydrieren passt es sich sehr gut an den darunterliegenden Knochen an."

Dr. Bastian Wessing, Deutschland



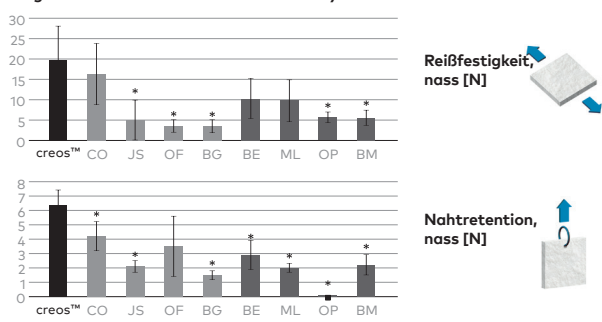


Hohe mechanische Festigkeit

Ergebnis einer In-vitro-Studie zum Vergleich der mechanischen Festigkeit von handelsüblichen nativen, nicht chemisch quervernetzten und chemisch guervernetzten Kollagenmembranen⁴

- creos xenoprotect zeigte die höchste Reißfestigkeit im nassen Zustand (21,2 N).
- creos xenoprotect hatte die höchste Nahtretention im nassen Zustand (6,1 N).

Vergleich handelsüblicher Membranen im hydratisiertem Zustand



Nicht vernetzte Kollagenmembranen (NXL) – CX: creos™ xenoprotect [Nobel Biocare]; CO: Copios [Zimmer]; JS: Jason [botiss]; OF: Osseoguard Flex [31]; BG: Bio-Gide [Geistlich]

Vernetzte Kollagenmembranen (XL) – BE: BioMend Extend [Zimmer]; ML: Mem-Lok [BioHorizons]; OP: OssixPlus [Datum Dental]; BM: BioMend [Zimmer]:

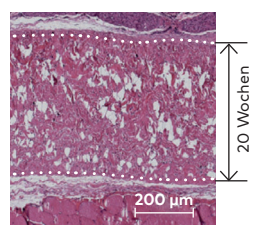
*Statistisch signifikant

Bietet eine physische Barriere, um das Knochenaugmentationsmaterial an der Defektstelle einzuschließen^{1,2,3,5,6,11,12,13}

Verhindert das Einwachsen des umgebenden Gewebes für einen Zeitraum, der lang genug ist, um die Knochen regeneration zu ermöglichen.

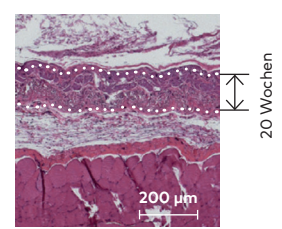
In einem Tiermodell nahm die Dicke von xenoprotect nach 20 Wochen nur geringfügig ab, während die Referenzmembran einen Verlust von ca. 50 % zeigte. Dies bestätigt die in vivo ermittelte höhere Stabilität von xenoprotect gegen biologischen Abbau.³

Repräsentative histologische Aufnahme 20 Wochen nach der Insertion im Rattenmodell.



creos™ xenoprotect

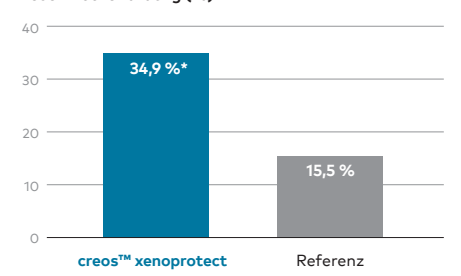




Referenzmembran

Begünstigt die Bildung von neuem Knochen^{2,3,5,6,7,8}

Neue Knochenbildung (%)



In einer vergleichenden In-vivo-Studie zeigte creos xenoprotect eine signifikant höhere Knochenneubildung im zentralen Teil des Defekts.

Dieser erhöhte Knochenzuwachs war mit der deutlich erhöhten Expression des Wachstumsfaktors *Bmp2* verbunden, der eine wichtige Rolle bei der Osteogenese spielt.⁷

In einer randomisierten kontrollierten klinischen Studie wurden 24 Patienten mit creos xenoprotect behandelt und 25 Patienten mit einer Referenzmembran. In der creos xenoprotect Gruppe verringerte sich die Defekthöhe bis zum erneuten Eingriff nach 6 Monaten um 81 %.

In der Referenzmembrangruppe verringerte sich die Defekthöhe bis zum erneuten Eingriff nach 6 Monaten um 62 %.⁵

Schematische Darstellung der Defekthöhe vor der Behandlung und 6 Monate nach GBR







Referenz



 $\mathsf{creos}^{\scriptscriptstyle\mathsf{TM}}\,\mathsf{xenoprotect}$



Referenz



Scannen Sie den Code, um Informationen zu den Ressourcen zu erhalten.

^{*}Statistisch signifikant

creos[™] xenofirm

Resorbierbare, feste und langanhaltende Kollagenmembran

Optimierte Flexibilität

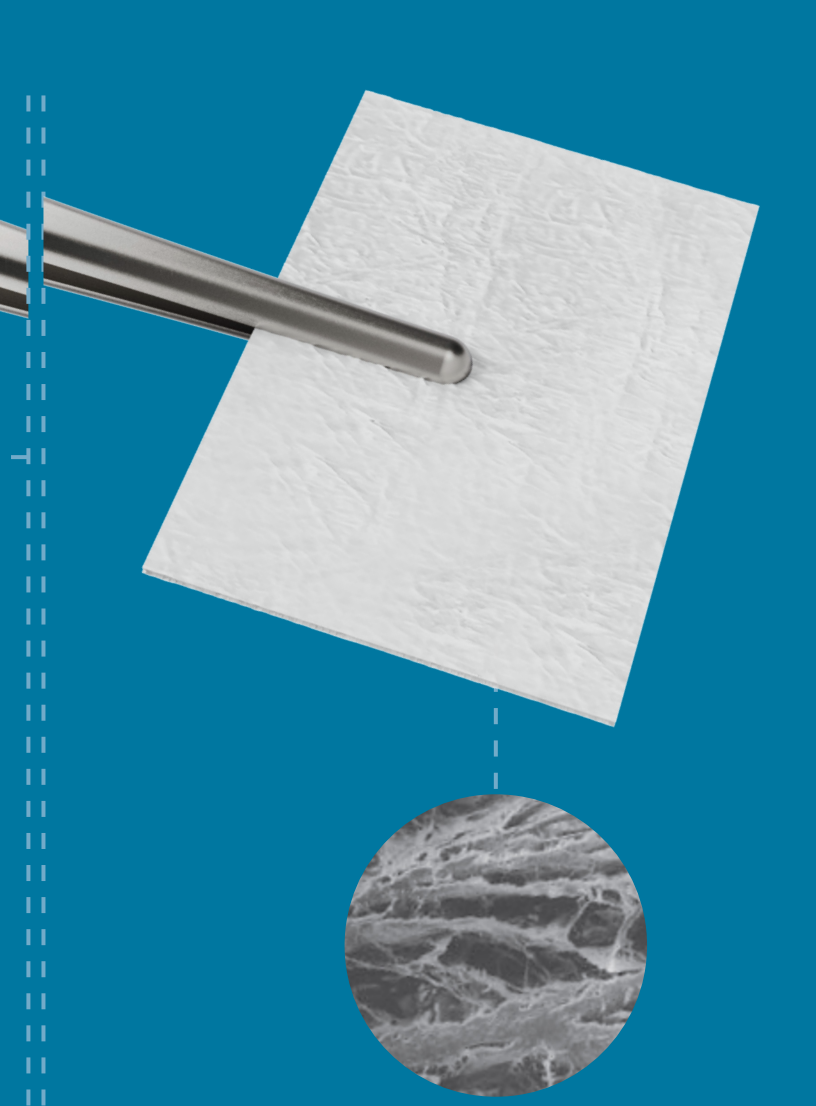
 Steif genug für ein einfaches Einsetzen, lässt sich jedoch leicht über den Kieferkamm ziehen

Lange vorhersehbare Resorptionszeit

- Resorptionszeit 26–30 Wochen

Hohe Zugfestigkeit

 Nähen oder heften Sie die Membran, ohne sie zu zerreißen



Hergestellt aus hochgereinigter boviner Achillessehne Typ 1

Die rekonstituierte Faserkonstruktion ermöglicht die Integration von Gewebe und verhindert gleichzeitig den direkten Durchtritt von Epithelzellen.



creos[™] syntoprotect mesh

Nicht resorbierbares, verstärktes PTFE-Mesh zur Stabilisierung und Unterstützung von Knochentransplantaten bei horizontalen und vertikalen Kieferkammaugmentationen



Anpassungsfähigkeit einer Membran mit der Porosität einer Mesh

Behält den Raum bei, der für horizontale und vertikale Kieferkammaugmentationen unerlässlich ist, aber mit den Vorteilen eines einfacheren Trimmens und Anpassens.

Handhabungsoptionen

15 Formen zur Behandlung verschiedener Indikationen.

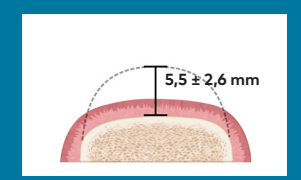
Einzigartiges makroporöses Design

Der direkte Kontakt zwischen Knochenersatz und Periost ermöglicht eine natürliche Revaskularisierung und die Infiltration von Zellen in den Knochenersatz.



Vertikale Knochenaugmentation mit einem verstärkten PTFE-Mesh¹

Eine von Urban et al. veröffentlichte Studie mit 57 Patienten (65 Defekte) ergab, dass die mittlere absolute Knochenbildung nach vertikaler Knochenaugmentation mit einem verstärkten PTFE-Mesh 5,2 ± 2,4 mm betrug, mit einem relativen Gewinn von 96,5 ± 13,9 %. Insgesamt zeigten 89,2 % der Fälle eine vollständige Regeneration.



Ausgangssituation Vertikaler Verlus



Vertikale Knochenaugmentation mit einem verstärkten PTFE-Mesh



Durchschnittliche absolute

Knochenhildung 5.2 + 2.4 mg



"Das creos PTFE mesh ermöglicht die Vaskularisierung, die man von einem Mesh erhält, aber mit der Weichheit einer Membran, die sanft zum Weichgewebe bleibt. Mit der Mesh und der Knochenqualität, die ich nach sieben Monaten sehe, kann ich die Zeit bis zur Implantation um etwa zwei Monate verkürzen."

Istvan Urban DMD, MD, PhD



Scannen Sie den Code, um Informationen zu den Ressourcen zu erhalten.

creos[™] syntoprotect

Nicht resorbierbare, dichte PTFE-Membran für das Management von Extraktionsalveolen, Kieferkammaugmentationen und Transplantationen großer Defekte



syntoprotect PTFE-Membran

Membran bleibt bewusst exponiert

Erhält die Weichgewebsarchitektur und die keratinisierte Mukosa

Nicht resorbierbar

Wird nicht resorbiert – Sie bestimmen die Einheilzeit

100 % dichtes (nicht expandiertes) PTFE

Bakterienundurchlässig – Porengröße unter 0,3 µm

Weichgewebe lagert sich an, wächst aber nicht durch die Membran

Die exponierte Membran kann ohne chirurgischen Eingriff entfernt werden, eine Anästhesie ist nicht erforderlich.





syntoprotect PTFE-Membran, titanverstärkt

Dünnes, leichtes Gerüst

Lässt sich einfach trimmen und fügt sich in anliegendes Weichgewebe

Weniger ist mehr

Der geringere Titananteil erhöht die Vielseitigkeit beim Modellieren und Einsetzen deutlich. Dies bietet zusätzliche Stabilität bei großen, unförmigen Knochendefekten.

Handhabungsoptionen

Breit gefächertes Portfolio mit 15 Formen in zwei Stärken

Herkömmliches Gerüstdesign

Einbindung feiner, strategisch platzierter "Titanstreben" mit 25-jähriger klinischer Erfolgsgeschichte und bewährter Anwendung in der GBR

Einzigartige Eigenschaften dichter PTFE-Membranen

Dichtes PTFE



REM-Aufnahme freundlicherweise zur Verfügung gestellt von Schüpbach Ltd., Schweiz.

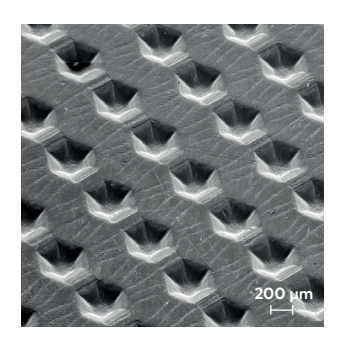
Expandiertes PTFE



REM-Aufnahme freundlicherweise zur Verfügung gestellt von Schüpbach Ltd., Schweiz.

Dichtes PTFE hält den
Belastungen einer Exposition in
der Mundumgebung stand. Dies
ist eine Verbesserung gegenüber
früheren Versionen von expandiertem
PTFE bei Anwendungen wie der
Kieferkammerhaltung, bei denen
eine bewusste Membranexposition
mehrere Vorteile bietet.

Unterstützt die Membranstabilisierung



Die hexagonalen
Oberflächenimpressionen
bieten eine strukturierte
Textur, wodurch der für die
Zelladhärenz verfügbare
Bereich zunimmt, ohne dabei
die Porosität zu erhöhen.
Die strukturierte Oberfläche
trägt dazu bei, die Membran
und den Weichgewebslappen
zu stabilisieren.



Obwohl PTFE von Natur aus ein nicht adhärentes Material ist, lagern sich Zellen an der Außenseite von dichten PTFE-Membranen an. Die Zellanhaftung ist wichtig, um die Ränder exponierter dichter PTFE-Membranen zu verschließen bzw. den primären Verschluss bei größeren Transplantationen zu fördern.

REM-Aufnahme freundlicherweise zur Verfügung gestellt von Schüpbach Ltd., Schweiz.

Klinische Dokumentation

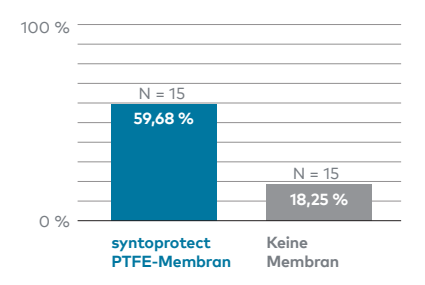
Effizienz

Knochenverlust 1 Jahr nach Extraktion¹



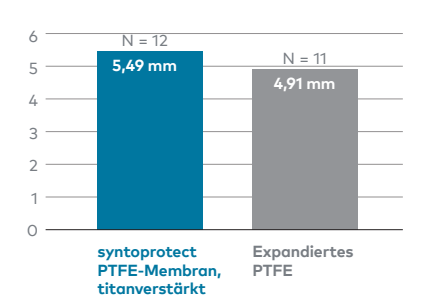
Vertikaler Knochenverlust gemessen am Alveolarkamm. Horizontaler Knochenverlust gemessen von der Schablone bis zur bukkalen Wand.

Weichgeweberegeneration 90 Tage nach Extraktion²



Messung der Reduzierung des okklusalen Abstands zwischen bukkalen und lingualen Gingivarändern.

Vertikale Kieferkammaugmentation an Implantaten³



Durchschnittliche vertikale Knochenregeneration.

Vorhersagbarkeit

In zwei unabhängigen Studien wurden insgesamt 696 Extraktionsalveolen mit dichten PTFE-Membranen behandelt. Diese Membranen blieben dabei exponiert, wobei keinerlei Infektionen beobachtet werden konnten.^{4,5}



Scannen Sie den Code, um Informationen zu den Ressourcen zu erhalten.

creos™ mucogain

Kollagenmatrix zur Förderung der Weichgeweberegeneration

Macht einen zweiten Implantationsort überflüssig^{1,2,3}



Patentiertes Herstellungsverfahren

- Offene, vernetzte, poröse Struktur.
- Fördert die Weichgeweberegeneration durch Migration von Zellen und Blutgefäßen in die Matrix.^{4,5,6}

Große Auswahlmöglichkeit

– Eine Auswahl an verschiedenen Größen und Stärken.

Hervorragende Handhabung

- Einfache Anwendung⁷
- Hohe Nahtretention und Stressresistenz⁷
- Memoryeffekt nach Hydratation und zyklischer Belastung in vitro⁴
- Präziser Zuschnitt auf den Implantationsort⁷

Klinisch effektiv

 Zeigte in einer klinischen Studie, dass es die Weichgewebsgesundheit f\u00f6rdert und eine gusseichande Weichgewebsdiele arb\u00e4lt \u00e43242526





"Es fühlt sich wie ein autologes Gewebetransplantat an und die mechanische Festigkeit ist fantastisch."

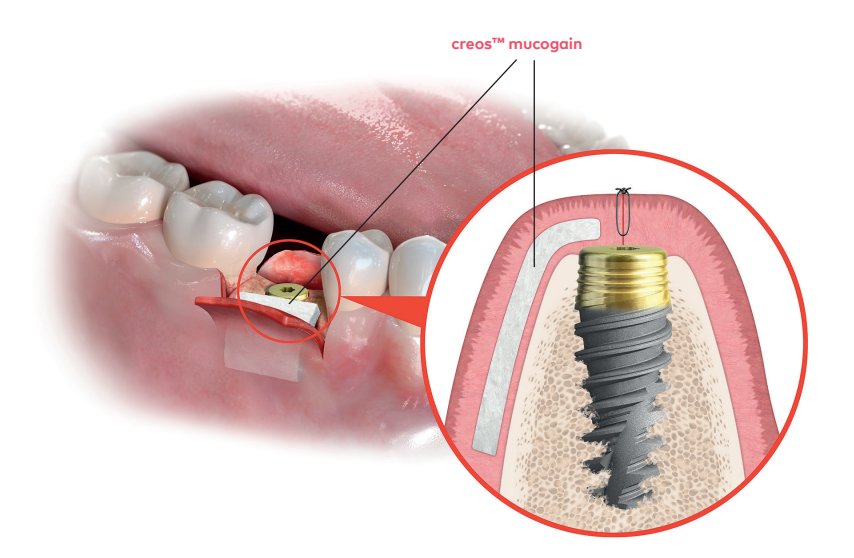
Dr. Miguel González Menéndez, Spanien



Sofort nach dem Auspacken einsatzbereit

creos mucogain ist in der Mundhöhle für Indikationen mit Weichgewebsaugmentation an Zähnen oder Implantaten vorgesehen:

- Verfahren mit gesteuerter
 Geweberegeneration (GTR) zur
 Wurzelabdeckung bei Rezessionsdefekten.
- Lokalisierte Gingivalaugmentation, um mehr keratinisiertes Gewebe an Zähnen und Implantaten zu erhalten.



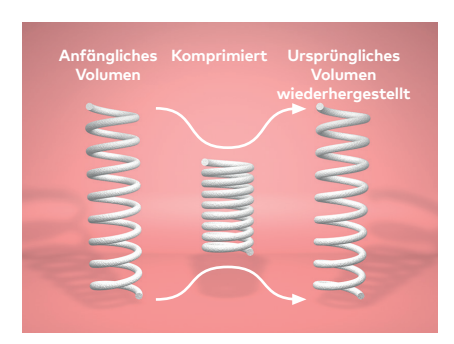
Einzigartig ausgerichtete poröse Struktur



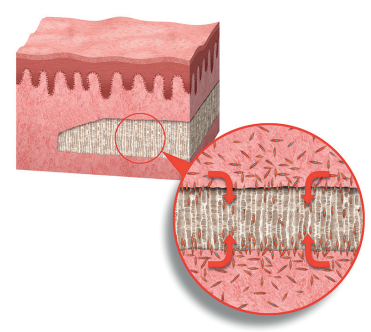
Matrixstruktur

Vernetzte poröse Struktur durch einen patentierten

Propose 456



Mechanische Eigenschaften
Nach Hydratation und Kompression in 49 Zyklen in
vitro behält das Transplantat sein ursprüngliches



3. Biologisches Ergebnis Fördert die Weichgeweberegeneration durch Migration von Zellen und Blutgefäßen in die Matrix.^{4,6}

Klinisch effektiv^{7,8,9,10}

Klinisch effektiv für Weichgeweberegeneration in Kombination mit Sofortimplantation und Knochenaugmentationsverfahren^{7,8} Eine retrospektive Analyse bei 45 Patienten mit einer Nachuntersuchungszeit von bis zu 4,5 Jahren (durchschnittlich 1,8 ± 1,3 Jahre) zeigte, dass creos mucogain die Weichgewebsgesundheit fördert und eine ausreichende Weichgewebsdicke erhält, wenn es zeitgleich mit der Implantatinsertion verwendet wird.°

Klinischer Fall

Bukkale Ansicht vor dem Eingriff (links) und 8 Monate nach dem Eingriff (rechts) an Zahn 22, 24, 25 und 26 nach der Behandlung mit creos mucogain.





Cirillo F. (März 2020). Plastischer Parodontaleingriff: Deckung des Zahnfleischrückgangs mit einer xenogenen Kollagenmatrix. Die Foundation for Oral Rehabilitation (FOR.org): https://bit.ly/2TkLsgu (Nachdruck mit freundlicher Genehmigung des Autors und der FOR.)



Scannen Sie den Code, um Informationen zu den Ressourcen zu erhalten.

creosTM xenofill

Resorbierbare Wundauflagen zum Schutz des Wundbetts und zur Unterstützung der Wundheilung

Erhältlich in 3 Formen und Größen

Hergestellt aus gereinigtem, aus Rindergewebe gewonnenem Kollagen

Wird im Allgemeinen in 30 Tagen resorbiert



Anwendungen:

- Eingriffswunden
- Parodontale Eingriffswunden
- Extraktionsalveolen
- Wunden im Mund
- Orale Geschwüre (nicht infiziert oder viral)
- Nahtstellen
- Verbrennungen
- Traumatische Wunden





Tape2,5 cm x 7,5 cm x 1 mm (dick)



Plug 1 cm x 2 cm



Foam 2 cm x 4 cm x 3 mm (dick)





creos[™] syntostitch

Nicht resorbierbare PTFE-Nahtmaterialien – monofil

Glatter monofiler Faden



creos™ syntostitch 350-fache Vergrößerung



PTFE-Mitbewerber 350-fache Vergrößerung

100 % medizinisches PTFE - Biologisch inert

Monofil Lässt Bakterien nicht eindringen

Weich (nicht steif) Komfortabel für Patienten

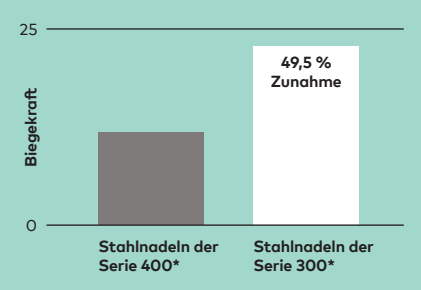
Wenig bis kein Memoryeffekt Hervorragende Handhabung, verknotet sicher

Nicht resorbierbar Hält den Implantationsort zuverlässig geschlossen

Vorteile der Nadeln aus chirurgischem Stahl der Serie 300:

- Goldstandardmaterial für Nahtmaterialnadeln
- Erhöhte Nadelstärke und Nadelschärfe
- Weniger Kraftaufwand beim Eindringen

Biegefestigkeit



* gewöhnlich in der Zahnmedizin

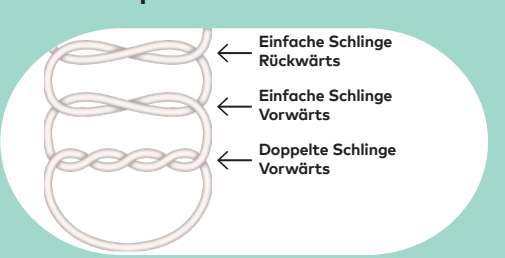
Nadelformen



Faden-Durchmesser



Empfohlener Knoten¹



creosTM screw fixation

Instrumente und Schrauben für das schnelle und einfache Einsetzen von Membranen, Knochenblöcken und Tenting Schrauben



Ein Kit für drei Schraubentypen

- Verschiedene Arten der Membranfixierung, Knochenfixierung und Tentingschrauben
- Universell einsetzbare Instrumente f
 ür alle creos screw fixation Schraubentypen

Selbstbohrende Schrauben

 Das selbstbohrende Design der Membranfixierung und der Tentingschrauben ermöglicht das Durchdringen von kortikalem Knochen ohne die Verwendung eines Hammers oder die Notwendigkeit, Pilotbohrungen vorzunehmen

Stabile und sichere Fixierung

 Die einfache Aufnahme, die hohe Stabilität der Schraube während der Übertragung zum Implantationsort und das einfache Einsetzen machen die Membranfixierung schnell und einfach



Membranfixierungsschrauben

Sichert Membranen und Mesh



Tentingschrauben

Aufrechterhaltung des Raums unter den Membranen bei horizontalen und vertikalen Auamentationsverfahren



Knochenfixierungsschrauben

Stabilisiert, fixiert und unterstützt Knochenblockaugmentationen



Winkelklinge (optional)

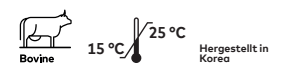
Entwickelt für das Einsetzen von posterioren und lingualen Schrauben, wird es an motorisierter Handstücken mit Riegeln befestigt und funktioniert universell mit allen Creos-Schrauben

Produkte

creos™ xenogain

Xenogenes Knochenersatzmaterial

Gewicht	Granulatgröße Volumen Ampulle Mis		Mischglas	Spritze	
0.25	Klein (0,2-1,0 mm)	0,36 cc	N1110	N1110-B	N1210
0,25 g	Groß (1,0–2,0 mm)	0,54 cc	N1111	N1111-B	N1211
0.5	Klein (0,2-1,0 mm)	0,82 cc	N1120	N1120-B	N1220
0,5 g	Groß (1,0–2,0 mm)	1,27 cc	N1121	N1121-B	N1221
1.00	Klein (0,2-1,0 mm)	1,71 cc	N1130	N1130-B	
1,00 g	Groß (1,0–2,0 mm)	2,69 cc	N1131	N1131-B	
2.00	Klein (0,2–1,0 mm)	3,64 cc	N1140	N1140-B	
2,00 g	Groß (1,0–2,0 mm)	5,74 cc	N1141	N1141-B	









creos™ xenogain Kollagen

creos[™] xenogain + 10 % porcines Kollagen Typ I

Gewicht	Sewicht Blockgröße	
0,1 g	6 × 6 × 6 mm	N1320
0,25 g	7 × 8 × 9 mm	N1330
0,5 g	9 × 10 × 11 mm	N1340



Gewicht	Sewicht Spritzengröße	
0,25 g	4,6 x 40 mm	N1410
0,5 g	5,6 x 45 mm	N1420



Glossar der Symbole



Porcine Bovine 2 °C 30 °C Hergestellt in Korea

creos™ xenoform

Xenogenes Knochenersatzmaterial

Gewicht	Granulatgröße	Volumen	Ampulle (Granulate)	Spritze
0,25 g		0,5 cc	CHY25-0210	CHYS25-0210
0,5 g	0.0.1.0	1,1 cc	CHY05-0210	CHYS05-0210
1,0 g	- 0,2–1,0 mm -	2,1 cc	CHY10-0210	
2,0 g		4,1 cc	CHY20-0210	
0,25 g		0,6 cc	CHY25-0512	CHYS25-0512
0,5 g	0,5–1,2 mm	1,2 cc	CHY05-0512	CHYS05-0512
1,0 g		2,3 cc	CHY10-0512	
2,0 g		4,5 cc	CHY20-0512	



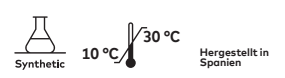




creos™ syntogain

Synthetisches Knochenersatzmaterial

Gewicht	Granulatgröße	Volumen	Ampulle
0,5 g	Klein (0,2–1,0 mm)	0,50 cc	S1110
1,0 g	Klein (0,2–1,0 mm)	1,00 cc	S1120
0,5 g	Groß (1,0-2,0 mm)	0,50 cc	S1111
1,0 g	Groß (1,0–2,0 mm)	1,00 cc	S1121





creos[™] xenoprotect

Die meistverkaufte resorbierbare Kollagenmembran von Nobel Biocare

Größe	Artikelnr.
15 × 20 mm	E1520
25 × 30 mm	E2530
30 × 40 mm	E3040



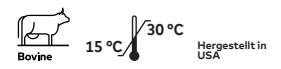


creos™ xenofirm

Resorbierbare, feste Kollagenmembran

Größe	Einheiten/Box	Artikelnr.
15 × 20 mm	2	CLMCM1520
20 × 30 mm	2	CLMCM2030
30 × 40 mm	2	CLMCM3040



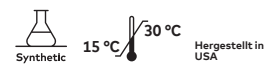


creos™ syntoprotect PTFE-Membran

Nicht resorbierbare PTFE-Membran mit hoher Dichte

Shape	Bild	Größe	Dicke	Artikelnr.	Einheiten/Box	Beschreibung
		12 2/	200 µm	N161224-1	1	Consideration of the fire
Kiein	Klein	12 x 24 mm	200 µm	N161224-10	10	- Speziell entwickelt für die Augmentation von Extraktionsalveolen sowie für Augmentationsverfahren, die mit einer Exposition zur Mundhöhle
Mittel		12 × 30 mm	200 µm	N161230-10	10	
Cro	C0	25. 20	200 µm	N162530-1	1	
Groß		25 × 30 mm	200 μm	N162530-4	4	einhergehen

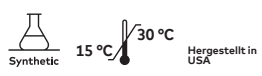




creos™ syntoprotect Titanverstärkte PTFE-Membran

Titanverstärkte, nicht resorbierbare PTFE-Membran mit hoher Dichte

Shape	Bild	Größe	Dicke	1 Einheit pro Box	2 Einheiten pro Box	Beschreibung
		10.01	150 µm	N1615TI-01-1	N1615TI-01-2	
Nr. 1		12 x 24 mm	250 µm	N1625TI-01-1	N1625TI-01-2	Geeignet für enge Einzelzahn-
Nr. 1,		40.00	150 µm	k. A.	k. A.	Extraktionsalveolen, insbesondere wenn eine Knochenwand fehlt
30 mm		12 × 30 mm	250 µm	N1625TI-01-30-1	N1625TI-01-30-2	
			150 µm	N1615TI-02-1	N1615TI-02-2	Geeignet für Einzelzahn- - Extraktionsalveolen, insbesondere
Nr. 2		14 × 24 mm	250 µm	N1625TI-02-1	N1625TI-02-2	wenn eine oder mehrere Knochenwände fehlen
		17.05	150 µm	N1615TI-03-1	N1615TI-03-2	
Nr. 3		17 x 25 mm	250 µm	N1625TI-03-1	N1625TI-03-2	Geeignet für große
Nr. 3,			150 µm	N1615TI-03L-1	N1615TI-03L-2	bukkale Defekte
30 mm	>	17 × 30 mm	250 µm	N1625TI-03L-1	N1625TI-03L-2	
			150 µm	N1615TI-04-1	N1615TI-04-2	Geeignet für große
Nr. 4		20 × 25 mm	250 µm	N1625TI-04-1	N1625TI-04-2	Extraktionsalveolen und begrenzte Kieferkammaugmentationen
N. F	10. all	2/ 25	150 µm	N1615TI-05-1	N1615TI-05-2	Geeignet für große Extraktionsalveolen und begrenzte
Nr. 5	5	36 x 25 mm	250 µm	N1625TI-05-1	N1625TI-05-2	Kieferkammaugmentationen im Frontzahnbereich des Oberkiefers
	33.44	25 × 30 mm	150 µm	N1615TI-06-1	N1615TI-06-2	Geeignet für große
Nr. 6			250 µm	N1625TI-06-1	N1625TI-06-2	Knochendefekte, einschließlich Kieferkammaugmentationen
Nr. 7	*	30 x 41 mm	150 µm	N1615TI-07-1	N1615TI-07-2	Geeignet für große Knochendefekte, einschließlich
INI. 7		30 x 41 mm	250 µm	N1625TI-07-1	N1625TI-07-2	Kieferkammaugmentationen im Frontzahnbereich des Oberkiefers
	N. Jr		150 µm	N1615TI-08-1	N1615TI-08-2	Geeignet für sehr große
Nr. 8		30 × 40 mm	250 µm	N1625TI-08-1	N1625TI-08-2	Knochendefekte, einschließlich Kieferkammaugmentation
	NIZ		150 µm	N1615TI-09-1	N1615TI-09-2	Geeignet für sehr große
Nr. 9		30 × 40 mm	250 µm	N1625TI-09-1	N1625TI-09-2	Knochendefekte, einschließlich Kieferkammaugmentation
		0/ 0-	150 µm	N1615TI-10-1	N1615TI-10-2	Geeignet für große
Nr. 10		24 x 38 mm	250 µm	N1625TI-10-1	N1625TI-10-2	Extraktionsalveolen, einschließlich Kieferkammaugmentationen
N. 44	11	20. 22	150 µm	N1615TI-11-1	N1615TI-11-2	Geeignet für große
Nr. 11		38 × 38 mm	250 µm	N1625TI-11-1	N1625TI-11-2	Knochendefekte, einschließlich Kieferkammaugmentationen
Nr. 12	11	38 × 38 mm	150 µm	N1615TI-12-1	N1615TI-12-2	Geeignet für große Knochendefekte, einschließlich
. 41. 12		55 56 mm	250 µm	N1625TI-12-1	N1625TI-12-2	distaler Verlängerung des posterioren Kieferkamms
N- 42	NV	/OF0	150 µm	N1615TI-13-1	N1615TI-13-2	Geeignet für größte
Nr. 13		40 x 50 mm	250 µm	N1625TI-13-1	N1625TI-13-2	Knochendefekte, einschließlich Kieferkammaugmentation



creos™ syntoprotect mesh

Nicht resorbierbares Mesh

Shape	Bild	Größe	Dicke	1 Einheit pro Box	Beschreibung
Nr. 3	X	17 x 25 mm	200 µm	301871	
Nr. 3, 30 mm	>	17 × 30 mm	200 µm	301892	Geeignet für große bukkale Defekte
Nr. 4	ЖК	20 × 25 mm	200 µm	301872	Geeignet für große Extraktionsalveolen und begrenzte Kieferkammaugmentationen
Nr. 5		36 x 25 mm	200 µm	301873	Geeignet für große Extraktionsalveolen und begrenzte Kieferkammaugmentationen im Frontzahnbereich des Oberkiefers
Nr. 6	> *(25 × 30 mm	200 µm	301874	Geeignet für große Knochendefekte, einschließlich Kieferkammaugmentationen
Nr. 7		30 x 41 mm	200 μm	301875	Geeignet für große Knochendefekte, einschließlich Kieferkammaugmentationen im Frontzahnbereich des Oberkiefers
Nr. 8	X	30 × 40 mm	200 µm	301876	Geeignet für sehr große Knochendefekte, einschließlich Kieferkammaugmentationen
Nr. 9		30 × 40 mm	200 µm	301877	Geeignet für sehr große Knochendefekte,
Nr. 9M		30 × 40 mm	200 µm	301878	einschließlich Kieferkammaugmentationen
Nr. 10		24 x 38 mm	200 µm	301879	Geeignet für große Extraktionsalveolen,
Nr. 10M	#	24 x 38 mm	200 µm	301880	einschließlich Kieferkammaugmentationen
Nr. 11		38 × 38 mm	200 µm	301881	Geeignet für große Knochendefekte,
Nr. 11M		38 × 38 mm	200 µm	301882	einschließlich Kieferkammaugmentationen
Nr. 12		38 × 38 mm	200 µm	301883	Geeignet für große Knochendefekte, einschließlich distaler Verlängerung des posterioren Kieferkamms
Nr. 13	\mathbb{R}	40 x 50 mm	200 µm	301886	Geeignet für größte Knochendefekte, einschließlich Kieferkammaugmentationen

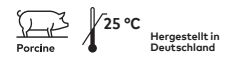


creos™ mucogain

Resorbierbare Kollagenmatrix

Größe	Blockgröße	Artikelnr.
15 × 20 mm	3 mm	MU15203
25 × 30 mm	3 mm	MU25303
15 × 20 mm	5 mm	MU15205
25 × 30 mm	5 mm	MU25305





creos™ xenofill

Resorbierbare Wundauflagen

Größe	Größe	Einheiten/Box	Artikelnr.
Plug	1 × 2 cm	10	CLMBDDWDP1020
Foam	2 × 4 cm	10	CLMBDDWDF2040
Таре	2,5 × 7,5 cm	10	CLMBDDWDT2575



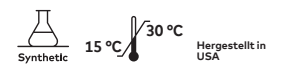
creos™ syntostitch

Nicht resorbierbares PTFE-Nahtmaterial – monofil

Nadelform	USP	Nadelgröße	Nadelfarbe	Nahtlänge 45 cm 12 Einheiten pro Box	Nahtlänge 70 cm 12 Einheiten pro Box
TP 1/2 Ring Runder Körper	4-0	13 mm		301815	301816
	2-0	19 mm		301805	301806
		16 mm		301807	301808
	2.0	19 mm		301809	301810
RC 3/8 Ring	3-0	16 mm	schwarz	301811	301812
Präzises Rückwärtsschneiden		19 mm	schwarz	301813	301814
RUCKWartsschneiden		13 mm		301817	301818
	4–0	16 mm		301819	301820
-	5-0	13 mm		301821	301822
	5-0	16 mm		301823	301824

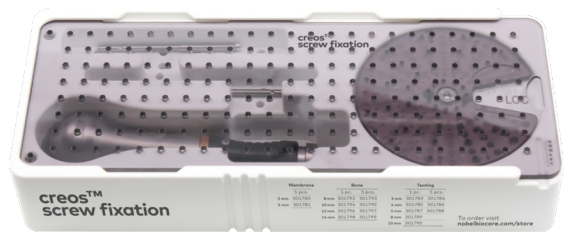


TP 1/2 Ring Runder Körper



creos™ screw fixation

Titanschrauben für die Membran-/Knochenfixierung und das Tenting



Hergestellt in den USA

Stabilisierungskit enthält

- Ablagetray mit Schrauborganisatorscheibe
- Schraubendreher-Handstück aus chirurgischem Stahl
- kreuzförmige Eindreherklinge, 76 mm
- kreuzförmige Eindreherklinge, 56 mm

Tenting-Kit Artikel 301782 Enthaltene Produkte

Enthaltene Produkte

Membranfixierungsschraube

Stabilisierungskit

Selbstbohrende

Enthaltene Produkte	Größe	Anzahl
Stabilisierungskit		1
	1,5 × 3 mm	4
Selbstbohrende Tenting Schrauben	1,5 × 4 mm	4
	1,5 × 5 mm	4

Membran Fixierungskit Artikel 301779

Größe

1,5 × 3 mm

Anzahl

1

20



Kreuzförmige Eindreherklinge mit Winkelstück

Beschreibung	Artikelnr.	
24 mm	301802	

Einzelne Komponenten

Beschreibung	1 Einheit pro Box
kreuzförmige Eindreherklinge, 76 mm	301800
kreuzförmige Eindreherklinge, 56 mm	301801
Schraubendreher-Handstück aus chirurgischem Stahl	301803
Autoklavierbares Lagerungstray	301804

Knochen-Fixierungskit Artikel 301791

Enthaltene Produkte	Größe	Anzahl
Stabilisierungskit		1
	1,5 × 8 mm	2
Selbstbohrende	1,5 × 10 mm	4
Knochenfixierungsschraube	1,5 × 12 mm	4
	1,5 × 14 mm	2

Membranfixierungsschrauben

Größe	5 Einheiten pro Box
1,5 × 3 mm	301780
1,5 × 5 mm	301781



Hergestellt in den USA

Tentingschrauben

Größe	Spezial	1 Einheit pro Box	5 Einheiten pro Box
1,5 × 3 mm polierter Hals		301783	301784
1,5 × 4 mm polierter Hals	+4 mm Gewindestück	301785	301786
1,5 × 5 mm polierter Hals		301787	301788
1,5 × 8 mm	Vollgewinde	301789	k. A.
1,5 × 10 mm	Vollgewinde	301790	k. A.

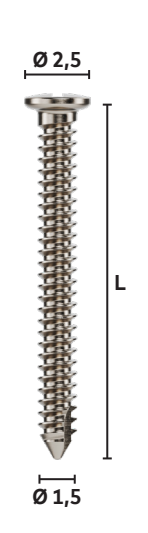


Hergestellt in den USA

Knochenfixierungsschrauben

Größe	1 Einheit pro Box	5 Einheiten pro Box
1,5 × 8 mm	301792	301793
1,5 × 10 mm	301794	301795
1,5 × 12 mm	301796	301797
1,5 × 14 mm	301798	301799

Hergestellt in den USA



Alle Angaben in Millimetern.



Link zum Nobel Biocare Online Store

Quellenangaben

creos™ xenogain

- 1. Nobel Biocare, Daten liegen vor.
- **2.** Rhee S-H, Park HN, Seol Y-J et al. Effect of heattreatment temperature on the osteoconductivity of the apatite derived from bovine bone. 2006 Key Engineering Materials 309-311:41-44 <u>Lesen</u>
- **3.** Arrighi I, Wessing B, Rieben A et al. Resorbable collagen membranes expansion in vitro. J Dent Res 2014;93 (Spec Iss B):631 <u>Auf PubMed lesen</u>
- **4.** Park J-B et al. Maxillary sinus floor augmentation using deproteinized bovinebone-derived bone graft material(OCS-B). Clinical and histologic findings in humans. The Journal of the Korean Dental Association. 2007;45(8):491–99 <u>Auf PubMed lesen</u>
- **5.** Shin S-Y et al. Long-term results of new deproteinized bovine bone material in a maxillary sinus graft procedure. J Periodontal Implant Sci. 2014;44;259-64. <u>Auf PubMed lesen</u>
- 6. Aleksic Z, Milikovic I, Lazic Z et al. A multicenter clinical investigation demonstrates bone regeneration in severe horizontal defects in the posterior mandible using creos™ xenoprotect: Interim results. J Clin Periodontol 2018;45(S19):306 Lesen
- **7.** Park HN, Han, SH, Kim KW et al. A study on the safety and efficacy of bovine bone-derived bone graft material (OCS-B). J Korean Acad Periodontol. 2005 Jun;35(2):335 43 Lesen
- **8.** Periodontal Repair on Intrabony Defects treated with Anorganic Bovine-derived Xenograft. J Korean Acad Periodontol. 2007;37(3):489 96
- **9.** Fernandez de Grado G, Keller L, Idoux-Gillet Y et al. Bone substitutes: a review of their characteristics, clinical use, and perspectives for large bone defects management. Journal of Tissue Engineering Volume 9: 1–18, 2018 <u>Auf PubMed lesen</u>
- **10.** Zhang K, Fan Y, Dunne N et al. Effect of microporosity on scaffolds for bone tissue engineering. Regenerative Biomaterials, 2018, 115–124 <u>Auf PubMed lesen</u>

creos™ xenoform

- 1. Suzuki O, Shiwaku Y, Hamai R. Octacalcium phosphate bone substitute materials: Comparison between properties of biomaterials and other calcium phosphate materials. Dent Mater J. 2020;39(2):187-199. doi:10.4012/dmj.2020-00 Auf PubMed lesen
- 2. Anil A, Sadasivan A, Koshi E. Physicochemical Characterization of Five Different Bone Graft Substitutes Used in Periodontal Regeneration: An In Vitro Study. J Int Soc Prev Community Dent. 2020;10(5):634-642. Veröffentlicht 28. Sept. 2020. doi:10.4103/jispcd.JISPCD 263 20 Lesen
- **3.** JH. Lee, JH Kim, JHong Jeon, Bone Regeneration of Macropore Octacalcium Phosphate–Coated Deproteinized Bovine Bone Materials in Sinus Augmentation: A Prospective Pilot Study, Implant Dentistry, 2015;24(3):275-280 <u>Auf PubMed lesen</u>

creos™ syntogain

- 1. Hoornaert A, Maazouz Y, Pastorino D et al. Vertical Bone Regeneration with Synthetic Biomimetic Calcium Phosphate onto the Calvaria of Rats. Tissue Eng Part C Methods. 2019 Jan;25(1):1-11. doi: 10.1089/ten. TEC.2018.0260. PMID: 30501579. Auf PubMed lesen
- 2. Barba A, Diez-Escudero A, Espanol M et al. Impact of biomimicry in the design of osteoinductive bone substitutes: nanoscale matters. ACS Appl. Mater. Interfaces 2019. DOI:10.1021/acsami.8b20749. Auf PubMed lesen
- **3.** Archivdaten: Mimetis-XRD-Analysebericht unter Verwendung der RIR-Quantifizierungsmethode. Zusammensetzungszertifikat für Medizinprodukte.
- **4.** Barba A, Diez-Escudero A, Maazouz Y et al. Osteoinduction by foamed and 3D-printed calcium phosphate scaffolds: effect of nanostructure and pore architecture. ACS Appl. Mater. Interfaces 2017. DOI:10.1021/acsami.7b14175. <u>Auf PubMed lesen</u>
- **5.** Sadowska JM, Guillem-Marti J, Montufar EB, Espanol M, Ginebra MP. * Biomimetic Versus Sintered Calcium Phosphates: The In Vitro Behavior of Osteoblasts and Mesenchymal Stem Cells. Tissue Eng Part A. 2017 Dec;23(2324):1297-1309. doi: 10.1089/ten.TEA.2016.0406. Epub 21. Feb. 2017. PMID: 28107811. <u>Auf PubMed lesen</u>
- 6. Archivdaten: Studie zu Meilenstein 2 (Seite 18)

- 7. Konka J, Espanol M, Bosch BM, de Oliveira E, Ginebra MP. Maturation of biomimetic hydroxyapatite in physiological fluids: a physicochemical and proteomic study. Mater Today Bio. 2021 Sep 15;12:100137. doi: 10.1016/j.mtbio.2021.100137. PMID: 34632362; PMCID: PMC8487082. Auf PubMed lesen
- **8.** Hannink G, Arts C. Bioresorbability, porosity and mechanical strength of bone substitutes: What is optimal for bone regeneration? Injury, Volume 42, Supplement 2, 2011, Seiten S22–S25, ISSN 0020-1383. <u>Auf PubMed lesen</u>
- 9. Archivdaten: Klinische Fälle ab 2022.
- 10. Raymond Y, Pastorino D, Ginebreda I et al.
 Computed tomography and histological evaluation of xenogenic and biomimetic bone grafts in three-wall alveolar defects in minipigs. Clin Oral Investig. 2021
 Dec;25(12):6695-6706. doi: 10.1007/s00784-021-03956-y.
 Epub 1. Mai 2021. PMID: 33931811. Auf PubMed lesen
- **11.** Archivdaten: Kundenstimmen zur Handhabung des Granulats aus den Jahren 2017–2018 + Ergebnisse der GKEM-Fragebögen zur Handhabung aus dem Jahr 2022.
- 12. Archivdaten: Bericht zu Meilenstein 2 (Kapitel 2.5.1)
- 13. Henkel KO, Gerber T, Lenz S, Gundlach KK, Bienengräber V. Macroscopical, histological, and morphometric studies of porous bone-replacement materials in minipigs 8 months after implantation. Oral Surg Oral Med Oral Pathol Oral Radiol Endod. 2006 Nov;102(5):606-13. doi: 10.1016/j. tripleo.2005.10.034. Epub 19. Mai 2006. PMID: 17052636. Auf PubMed lesen
- 14. Weibrich G, Trettin R, Gnoth SH et al. Bestimmung der Größe der spezifischen Oberfläche von Knochenersatzmaterialien mittels Gasadsorption. (Alternativer Titel: Analysis of the size of the specific surface area of one regeneration materials by gas adsorption). Mund Kiefer GesichtsChir (2000) 4:148-152 Springer-Verlag 2000. Lesen
- **15.** Rufino Senra M, de Fátima Vieira Marques M. Synthetic Polymeric Materials for Bone Replacement. J. Compos. Sci. 2020,4, 191;doi:10.3390/jcs4040191. <u>Lesen</u>
- **16.** Ginebra MP, Espanol M, Maazouz Y, Bergez V, Pastorino D. Bioceramics and bone healing. EFORT Open Rev 2018;3 DOI: 10.1302/2058-5241.3.170056. <u>Auf PubMed lesen</u>
- **17.** Ginebra Cairó I., Roig Cayón M., Velasco-Ortega E. et al., Biomimetic synthetic bone graft in alveolar ridge preservation: 1-year RCT results, Abstract N°EAO-647 EAO Geneva 2022.

creos[™] xenoprotect

- 1. Aleksic Z. A multicenter clinical investigation demonstrates bone regeneration in severe horizontal defects in the posterior mandible using creos xenoprotect: Interim results. Konferenz: EuroPerio 9. Juli 2018. Lesen
- 2. Wessing B, Emmerich M, Bozkurt A. Horizontale Kammaugmentation mit einer neuen resorbierbaren Kollagenmembrane – Eine retrospektive Analyse von 36 konsekutiven Patienten. Int J Periodontics Restorative Dent 2016;36(2):179–187. Auf PubMed lesen
- **3.** Bozkurt A, Apel C, Sellhaus B et al. Differences in degradation behavior of two non-cross-linked collagen barrier membranes: an in vitro and in vivo study. Clin Oral Impl Res; 2014; 25(12):1403-1411 Auf PubMed lesen
- **4.** Gasser A, Wessing B, Eummelen L et al. Mechanical stability of collagen membranes: an in vitro study. J Dent Res 2016;95(Spec Iss A): 1683 <u>Lesen</u>
- **5.** Wessing B, Urban I, Montero E et al. A multicenter randomized controlled clinical trial using a new resorbable non-cross- linked collagen membrane for guided bone regeneration at dehisced single implant sites: interim results of a bone augmentation procedure. Clin Oral Impl Res; 2017;28(11):e218–e226. <u>Auf PubMed lesen</u>
- **6.** Sanz-Sanchez I, Wessing B, Polizzi G et al. Randomized clinical trial comparing two resorbable collagen membranes demonstrates good bone formation and soft tissue healing with GBR at single implant sites with dehiscence defects. J Clin Periodontol 2018; 45(S19):19–20 [mündliche Präsentation]. Lesen
- 7. Omar O, Dahlin A, Gasser A et al. Gewebeverhalten und regeneratives Ergebnis bei zwei resorbierbaren, unvernetzten Kollagenmembranen für die geführte Knochenregeneration: Eine präklinische molekulare und histologische Studie in vivo. Clin Oral Impl Res; 2018;29(1):7–19 <u>Auf PubMed lesen</u>
- 8. Aleksic Z, Milikovic I, Lazic Z et al. A multicenter clinical investigation demonstrates bone regeneration in severe horizontal defects in the posterior mandible using creos™ xenoprotect: Interim results. J Clin Periodontol 2018;45(S19):306 Lesen
- **9.** Raz P, Brosh T, Ronen G, Tal H. Tensile Properties of Three Selected Collagen Membranes. Biomed Res Int. 2019 Dec 5;2019:5163603. doi: 10.1155/2019/5163603. PMID: 31886222; PMCID: PMC6915138. <u>Auf PubMed lesen</u>

- **10.** Jäger M, Degistirici O, Knipper A, Fischer J, Sager M, Krauspe R. Bone healing and migration of cord blood-derived stem cells into a critical size femoral defect after xenotransplantation. J Bone Miner Res. 2007;22(8): 1224-33. Auf PubMed lesen
- **11.** Redemagni M, Mascetti T, Garlini G. Post-Extractive Immediate Implant Placement and Immediate Provisionalization at Sites Requiring Buccal Bone Regeneration:. EC Dental Science. 2019(18.6): 1207-16. Lesen
- 12. Cadenas-Vacas G, Martínez-Rodríguez N, Barona-Dorado C, Sánchez-Labrador L, Cortés-Bretón Brinkmann J, Meniz-García C et al. Calcium Phosphate Modified with Silicon vs. Bovine Hydroxyapatite for Alveolar Ridge Preservation: Densitometric Evaluation, Morphological Changes and Histomorphometric Study. Materials (Basel) [Internet]. 2021;14(4): 940. Lesen
- **13.** Bruyckere T de, Cosyn J, Younes F, Hellyn J, Bekx J, Cleymaet R et al. A randomized controlled study comparing guided bone regeneration with connective tissue graft to reestablish buccal convexity: One-year aesthetic and patient-reported outcomes. Clin Oral Implants Res. 2020;31(6): 507-16. <u>Auf PubMed lesen</u>
- **14.** J. Jiménez Garcia, S. Berghezan, J.M.M. Caramês, M.M. Dard, D.N.S. Marques, Effect of cross-linked vs noncross-linked collagen membranes on bone: A systematic review, J Periodont Res. 2017;1–10. <u>Auf PubMed lesen</u>

Bruyckere T de, Eeckhout C, Eghbali A, Younes F, Vandekerckhove P, Cleymaet R et al. A randomized controlled study comparing guided bone regeneration with connective tissue graft to re-establish convexity at the buccal aspect of single implants: A one-year CBCT analysis. J Clin Periodontol. 2018;45(11): 1375-87. Auf PubMed lesen

González Regueiro I, Martínez Rodriguez N, Barona Dorado C, Sanz-Sánchez I, Montero E, Ata-Ali J et al. Surgical approach combining implantoplasty and reconstructive therapy with locally delivered antibiotic in the treatment of peri-implantitis: A prospective clinical case series. Clin Implant Dent Relat Res. 2021;23(6): 864-73. <u>Auf PubMed lesen</u>

creos™ syntoprotect

1. Fotek PD, Neiva RF, Wang HL. Comparison of dermal matrix and polytetrafluoroethylene membrane for socket bone augmentation: a clinicaland histologic study. J Periodontol 2009;80:776-785. <u>Auf PubMed lesen</u>

- **2.** Barboza EP, Francisco BS, Ferreira VF. Soft tissue enhancement using non-expanded PTFE membranes without primary closure [Abstract]. Präsentiert in der Research Forum Poster-Session 2008. Jahrestagung der American Academy of Periodontology (AAP) in Seattle, USA, 6.–9. September 2008.
- **3.** Ronda M, Rebaudi A, Torelli L, Stacchi C. Expanded vs. dense polytetrafluoroethylene membranes in vertical ridge augmentation around dental implants: a prospective randomized controlled clinical trial. Clin Oral Impl Res; 2014 Jul;25(7):859-66. Auf PubMed lesen
- **4.** Barboza EP, Stutz B, Ferreira VF, Carvalho W. Guided bone regeneration using nonexpanded polytetrafluoroethylene membranes in preparation for dental implant placements a report of 420 cases. Implant Dent. 2010;19:2-7. <u>Auf PubMed lesen</u>
- **5.** Hoffman O, Bartee BK, Beaumont C, Kasaj A, Deli G, Zafiropoulos GG. Alveolar bone preservation in extraction sockets using non-resorbable dense PTFE membranes: A retrospective non-randomized study. J Periodontol 2008;79:1355-1369. <u>Auf PubMed lesen</u>

creos™ syntoprotect mesh

- **1.** Urban IA, Saleh MHA, Ravidà A, Forster A, Wang HL, Barath Z. Vertical bone augmentation utilizing a titanium-reinforced PTFE mesh: A multi-variate analysis of influencing factors. Clin Oral Implants Res. 2021 Jul;32(7):828-839. <u>Auf Europe PMC lesen</u>.
- 2. Bettini S, Rengo C, Fiorino A, Cucchi A. Vertical Ridge Augmentation Using Reinforced PTFE Mesh Versus Customized Titanium Mesh. Preliminary Results Of A Randomized Clinical Trial. Poster präsentiert auf der IAO 2020 in Mailand, Italien. Zugriff auf die Studie.

creos™ mucogain

- 1. Aguirre-Zorzano LA, García-De La Fuente AM, Estefanía-Fresco R et al. Complications of harvesting a connective tissue graft from the palate. A retrospective study and description of a new technique. J Clin Exp Dent 2017;9(12):e1439–e1445. <u>Auf PubMed lesen</u>
- **2.** Griffin TJ, Cheung WS, Zavras Al et al. Postoperative complications following gingival augmentation procedures. J Periodontol 2006;77(12):2070–2079. <u>Auf PubMed lesen</u>
- **3.** Harris RJ, Miller R, Miller LH et al. Complications with surgical procedures utilizing connective tissue grafts: a follow-up of 500 consecutively treated cases. Int J Periodontics Restorative Dent 2005;25(5):449–459.C513 <u>Auf PubMed lesen</u>

- **4.** Damink L.O., Heschel I, Leemhuis H. et al Gasser A, Wessing B, Eummelen L, et al. Soft tissue volume augmentation in the oral cavity with a collagen-based 3D matrix with orientated open pore structure. Current Directions in Biomedical Engineering 2018; 4(1): 237–241 Referenzen 1-10 11-20. Auf Researchgate lesen
- **5.** Heschel I et al. 2002. Method for producing porous structures. US patent 6,447,701 B1.
- **6.** Boekema B., Vlig F, Damink O.L. et al. Effect of pore size and cross-linking of a novel collagenelastin dermal substitute on wound healing. J Mater Sci Mater Med 2014:25(2):423–433 <u>Auf PubMed lesen</u>7. Wessing B, Vasilic N. Soft tissue augmentation with a new regenerative collagen 3-D matrix with oriented open pores as a potential alternative to autologous connective tissue grafts. Clin Oral Impl Res; 2014 Sep;25(s10)
- **8.** Sanz-Martin I, Encalada C, Sam-Sanchez I et al. Soft tissue augmentation at immediate implants using a novel xenogeneic collagen matrix in conjunction with immediate provisional restorations: A prospective case series. Clin Implant Dent Relat Res 2019;21(1):145-153. <u>Auf PubMed lesen</u>
- **9.** Cirillo F and Encalada C. Periodontal plastic surgery: treatment of multiple gingival recessions. FOR.org <u>Auf FOR.org lesen</u>

creos™ xenofill

Basma, H. S., Saleh, M. H. A., Abou-Arraj, R. V., Imbrogno, M., Ravida, A., Wang, H. L., Li, P., & Geurs, N. (2023). Patient-reported outcomes of palatal donor site healing using four different wound dressing modalities following free epithelialized mucosal grafts: A four-arm randomized controlled clinical trial. Journal of periodontology, 94(1), 88–97. <u>Auf PubMed lesen</u>

creos™ syntostitch

1. Abellán, D., Nart, J., Pascual, A., Cohen, R. E., & Sanz-Moliner, J. D. (2016). Physical and Mechanical Evaluation of Five Suture Materials on Three Knot Configurations: An in Vitro Study. Polymers, 8(4), 147. Lesen

Taysi AE, Ercal P, Sismanoglu S. Comparison between tensile characteristics of various suture materials with two suture techniques: an in vitro study. Clin Oral Investig. 14. Apr. 2021. <u>Auf PubMed lesen</u>

Silverstein LH, Kurtzman GM, Shatz PC. Suturing for optimal soft-tissue management. J Oral Implantol. 2009;35:82-90. <u>Auf PubMed lesen</u> Silverstein LH. Suturing principles: Preserving needle edges during dental suturing. PPAD. 2005;17:562-564.

Urban IA, Lozada JL, Wessing B, Suárez-López del Amo F, Wang HL. Vertical Bone Grafting and Periosteal Vertical Mattress Suture for the Fixation of Resorbable Membranes and Stabilization of Particulate Grafts in Horizontal Guided Bone Regeneration to Achieve More Predictable Results: A Technical Report. Int J Periodontics Restorative Dent. 2016;36(2):153-159. doi:10.11607/prd.2627 <u>Auf PubMed lesen</u>

creos™ screw fixation

Plonka, A. B., Urban, I. A., & Wang, H. L. (2018). Decision Tree for Vertical Ridge Augmentation. The International journal of periodontics & restorative dentistry, 38(2), 269–275. <u>Auf PubMed lesen</u>

Urban, I. A., Monje, A., Lozada, J., & Wang, H. L. (2017). Principles for Vertical Ridge Augmentation in the Atrophic Posterior Mandible: A Technical Review. The International journal of periodontics & restorative dentistry, 37(5), 639–645. <u>Auf PubMed lesen</u>

Gultekin, B. A., Cansiz, E., & Borahan, M. O. (2017). Clinical and 3-Dimensional Radiographic Evaluation of Autogenous Iliac Block Bone Grafting and Guided Bone Regeneration in Patients With Atrophic Maxilla. Journal of oral and maxillofacial surgery: official journal of the American Association of Oral and Maxillofacial Surgeons, 75(4), 709–722. https://doi.org/10.1016/j.joms.2016.11.019 Auf PubMed lesen

Wessing B, Urban I, Montero E et al. A multicenter randomized controlled clinical trial using a new resorbable non-cross- linked collagen membrane for guided bone regeneration at dehisced single implant sites: interim results of a bone augmentation procedure. Clin Oral Impl Res; 2017;28(11):e218–e226. <u>Auf PubMed lesen</u>

Online bestellen

Sie können unser gesamtes creos™ Sortiment rund um die Uhr über den Nobel Biocare Online Store bestellen.

nobelbiocare.com/store

Per Telefon bestellen

Rufen Sie unseren Kundenservice an oder wenden Sie sich an Ihren Vertriebsmitarbeiter.

nobelbiocare.com/contact



nobelbiocare.com



GMT 91419 DE 2408 Gedruckt in der EU © Nobel Biocare Services AG, 2024. Alle Rechte vorbehalten. Vertrieb durch: Nobel Biocare.

Haftungsausschluss: Nobel Biocare, das Nobel Biocare Logo und alle sonstigen Marken sind, sofern nicht anderweitig angegeben oder aus dem Kontext ersichtlich, Marken von Nobel Biocare. Weitere Informationen finden Sie unter nobelbiocare.com/trademarks.

Die Produktabbildungen sind nicht notwendigerweise maßstabsgetreu. Alle Produktabbildungen dienen ausschließlich zu Illustrationszwecken und sind möglicherweise keine exakte Darstellung des Produkts.

Einige Produkte sind unter Umständen nicht in allen Märkten für den Verkauf freigegeben/zugelassen. Bitte wenden Sie sich an Ihre Nobel Biocare Niederlassung, um aktuelle Informationen zur Produktpalette und Verfügbarkeit zu erhalten. Achtung: US-Bundesgesetze oder lokale Gesetze können den Verkauf dieser Komponente auf den Verkauf durch oder im Auftrag eines Zahnarztes oder Arztes beschränken. Die Gebrauchsanweisungen enthalten umfassende Informationen zur Verwendung, einschließlich Indikationen, Gegenanzeigen, Warnungen und Vorsichtsmaßnahmen.

creos™ xenogain wird für/von Nibec Co. hergestellt. Ltd, Chungcheongbuk-do, 27816 Korea hergestellt und von Nobel Biocare Services AG vertrieben. creos™ xenoform wird für/von Nibec Co. hergestellt und von Nobel Biocare Services AG vertrieben. creos™ syntogain wird für/von Mimetis Biomaterials, Carrer de Cartagena, 245, 3E, Barcelona 08025, Spanien hergestellt und von Nobel Biocare Services AG vertrieben. creos™ xenoprotect und creos™ mucogain werden für/von Matricel GmbH, Kaiserstraße 100, 52134 Herzogenrath, Deutschland hergestellt und von Nobel Biocare Services AG vertrieben. creos™ syntoprotect, creos™ syntoprotect, creos™ syntoprotect, creos™ syntoprotect, creos™ syntoprotect, creos™ syntoprotect with von Nobel Biocare Services AG vertrieben. creos™ screw fixation werden für/von Osteogenics Biomedical, 4620 71st St # 78, Lubbock, TX 79424, USA hergestellt und von Nobel Biocare Services AG vertrieben. creos™ xenofirm werden für/von Collagen Matrix, Inc. 15 Thornton Road Oakland, NJ 07436, USA, hergestellt und von der Nobel Biocare Services AG vertrieben.